ЧАСТЬ 4 КОЛЕБАНИЯ И ВОЛНЫ

Глава 18

МЕХАНИЧЕСКИЕ И ЭЛЕКТРОМАГНИТНЫЕ КОЛЕБАНИЯ

§ 140. Гармонические колебания и их характеристики

Колебаниями называются движения или процессы, которые характеризуются определенной повторяемостью во времени. Колебательные процессы широко распространены в природе и технике, например качание маятника часов, переменный электрический ток и т.д. При колебательном движении маятника изменяется координата его центра масс, в случае переменного тока колеблются напряжение и ток в цепи.

Физическая природа колебаний может быть разной, поэтому различают колебания механические, электромагнитные и др. Однако различные колебательные процессы описываются одинаковыми характеристиками и одинаковыми уравнениями. Отсюда следует целесообразность единого подхода к изучению колебаний различной физической природы. Например, единый подход к изучению механических и электромагнитных колебаний применялся английским физиком Д.У.Рэлеем (1842-1919), А.Г.Столетовым, русским инженером-экспериментатором П.Н.Лебедевым (1866-1912). Большой вклад в развитие теории колебаний внесли Л. И. Мандельштам (1879—1944) и его ученики.

Колебания называются свободными (или собственными), если они совершаются за счет первоначально сообщенной энергии при последующем отсутствии внешних воздействий на колебательную систему (систему, совершающую колебания).

Простейшим типом колебаний являются гармонические колебания — колебания, при которых колеблющаяся величина изменяется со временем по закону синуса (косинуса). Рассмотрение гармонических колебаний важно по двум причинам: 1) колебания, встречающиеся в природе и технике, часто близки к гармоническим; 2) различные периодические процессы (процессы, повторяющиеся через равные промежутки времени) можно представить как наложение гармонических колебаний. Гармонические колебания величины в описываются уравнением типа

$$s = A\cos(\omega_0 t + \varphi), \quad (140.1)$$

где A — максимальное значение колеблющейся величины, называемое амплитудой колебания; ω_0 — круговая (циклическая) частота.

Периодически изменяющийся аргумент косинуса ($\omega_0 t + \varphi$) называется фазой колебания. Она определяет смещение колеблющейся величины от положения равновесия в данный момент времени t. Величина φ в уравнении гармонических колебаний называется начальной фазой. Она определяет смещение колеблющейся величины от положения равновесия в начальный момент времени (t=0).

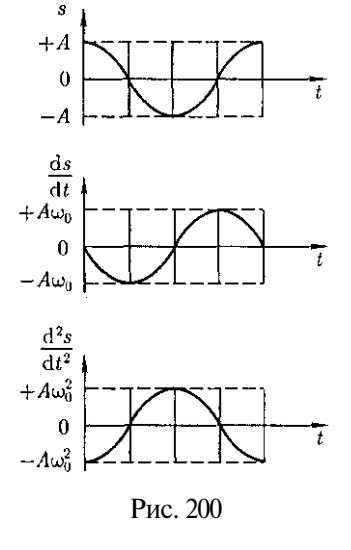
Значение начальной фазы определяется выбором начала отсчета времени. Так как косинус изменяется в пределах от +1 до -1, то s может принимать значения от +A до -A.

Определенные состояния системы, совершающей гармонические колебания, повторяются через промежуток времени T, называемый *периодом колебания*, за который фаза колебания получает приращение 2π , т. е.

$$\omega_0(t+T) + \varphi = (\omega_0 t + \varphi) + 2\pi$$

откуда

$$T = \frac{2\pi}{\omega_0}.\tag{140.2}$$



Величина, обратная периоду колебаний,

$$\nu = \frac{1}{T},\tag{140.3}$$

т.е. число полных колебаний, совершаемых в единицу времени, называется **частотой колебаний.** Сравнивая (140.2) и (140.3), получим

$$\omega_0 = 2\pi\nu$$
.

Единица частоты — герц (Γ ц): 1 Γ ц — частота периодического процесса, при которой за 1 с совершается один цикл процесса.

Запишем первую и вторую производные **по** времени от гармонически колеблющейся величины *s*:

$$\frac{\mathrm{d}s}{\mathrm{d}t} = -A\omega_0 \sin(\omega_0 + \varphi) =$$

$$= A\omega_0 \cos\left(\omega_0 t + \varphi + \frac{\pi}{2}\right); \quad (140.4)$$

$$\frac{\mathrm{d}^2 s}{\mathrm{d}t^2} = -A\omega_0^2 \cos(\omega_0 t + \varphi) =$$

$$= A\omega_0^2 \cos(\omega_0 t + \varphi + \pi), \quad (140.5)$$

т.е. имеем гармонические колебания с той же циклической частотой. Амплитуды величин (140.4) и (140.5) соответственно равны $A\omega_0$ и $A\omega_0^2$. Фаза величины (140.4) отличается от фазы величины (140.1) на $\frac{\pi}{2}$, а фаза величины (140.1) на тт. Следовательно, в моменты времени, когда s=0, $\frac{\mathrm{d}s}{\mathrm{d}t}$ приобретает наибольшие значения; когда s достигает максимального отрицательного значения, то $\frac{\mathrm{d}^2s}{\mathrm{d}t^2}$ имеет наибольшее положительное значение (рис. 200; начальная фаза $\varphi=0$).

Из выражения (140.5) следует дифференциальное уравнение гармонических колебаний

$$\frac{\mathrm{d}^2 s}{\mathrm{d}t^2} + \omega_0^2 s = 0, \tag{140.6}$$

Решением этого уравнения является выражение (140.1).

Гармонические колебания изображаются графически методом врашающегося вектора амплитуды, или методом векторных диаграмм. Для этого из произвольной точки O, выбранной на оси x, под углом ϕ , равным начальной фазе колебания, откладывается вектор A, модуль которого равен амплитуде А рассматриваемого колебания (рис. 201). Если этот вектор привести во вращение с угловой скоростью ω_0 , равной циклической частоте колебаний, то проекция конца вектора будет перемещаться по оси х и принимать значения от -A до +A, а колеблющаяся величина будет изменяться со временем по закону $s = A \cos(\omega_0 t + \varphi)$. Таким образом, гармоническое колебание можно представить проекцией на некоторую произвольно выбранную ось вектора амплитуды A, отложенного из произвольной точки оси под углом ϕ , равным начальной фазе, и вращающегося с угловой скоростью ω_0 вокруг этой точки.

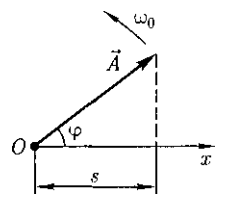
В физике часто применяется другой метод, который отличается от метода вращающегося вектора амплитуды лишь по форме. В этом методе колеблющуюся величину представляют комплексным числом. Согласно формуле Эйлера, для комплексных чисел

$$e^{i\alpha} = \cos \alpha + i \sin \alpha,$$
 (140.7)

где $i = \sqrt{-1}$ — мнимая единица. Поэтому уравнение гармонического колебания (140.1) можно записать **в** комплексной форме:

$$\tilde{s} = A e^{i(\omega_0 t + \varphi)} \tag{140.8}$$

Вещественная часть выражения (140.8)



$$\operatorname{Re}(\tilde{s}) = A\cos(\omega_0 t + \varphi) = s$$

представляет собой гармоническое колебание. Обозначение **Re** вещественной части условимся опускать и (140.8) будем записывать в виде

$$s = Ae^{i(\omega_0 t + \varphi)}$$
.

В теории колебаний принимается, что колеблющаяся величина *s* равна *вещественной части* комплексного выражения, стоящего в этом равенстве справа.

§ 141. Механические гармонические колебания

Пусть материальная точка совершает прямолинейные гармонические колебания вдоль оси координат x около положения равновесия, принятого за начало координат.

Тогда зависимость координаты x от времени t задается уравнением, аналогичным уравнению (140.1), где s = x:

$$x = A\cos(\omega_0 t + \varphi). \quad (141.1)$$

Согласно выражениям (140.4) и (140.5), скорость vи ускорениео, колеблющейся точки соответственно равны

$$v = -A\omega_0 \sin(\omega_0 + \varphi) =$$

$$= A\omega_0 \cos\left(\omega_0 t + \varphi + \frac{\pi}{2}\right);$$

$$a = -A\omega_0^2 \cos(\omega_0 t + \varphi) =$$

$$= A\omega_0^2 \cos(\omega_0 t + \varphi + \pi).$$
(141.2)

Сила F = ma, действующая на колеблющуюся материальную точку массои m, с учетом (141.1) и (141.2) равна

$$F = -m\omega_0^2 x.$$

Следовательно, сила пропорциональна смещению материальной точки из положения равновесия и направлена в противоположную сторону (к положению равновесия).

Кинетическая энергия материальной точки, совершающей прямолинейные гармонические колебания, равна

$$T = \frac{mv^2}{2} = \frac{mA^2\omega_0^2}{2}\sin^2(\omega_0t + \varphi),$$
 (141.3)

или

$$T = \frac{mA^2\omega_0^2}{4} [1 - \cos 2(\omega_0 t + \varphi)].$$
 (141.4)

Потенциальная энергия материальной точки, совершающей гармонические колебания под действием упругой силы F, равна

$$\Pi = -\int_{0}^{x} F dx = \frac{m\omega_0^2 x^2}{2} =$$

$$= \frac{mA^2\omega_0^2}{4} \cos^2(\omega_0 t + \varphi), \quad (141.5)$$

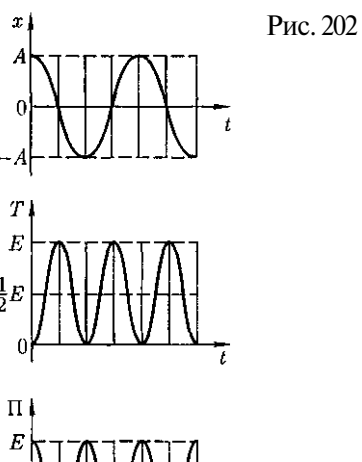
ИЛИ

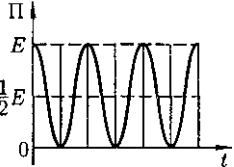
$$\Pi = \frac{mA^2\omega_0^2}{4} [1 + \cos 2(\omega_0 t + \varphi) . (141.6)$$

Сложив (141.3) и (141.5), получим формулу для *полной энергии:*

$$E = T + \Pi = \frac{mA^2\omega_0^2}{2}.$$
 (141.7)

Полная энергия остается постоянной, так как при гармонических колебаниях справедлив закон сохранения механической энергии, поскольку упругая сила консервативна.





Из формул (141.4) и (141.6) следует, что T и Π изменяются с частотой $2\omega_0$, т. е. с частотой, которая в два раза превышает частоту гармонического колебания. Нарис. 202 представлены графики зависимости x, T и Π от времени. Так как (\sin^2 а) = (\cos^2 а) = -, то из формул (141.3), (141.5) и (141.7) следует, что $\langle T \rangle = \langle \Pi \rangle = \frac{1}{2} E$.

§ 142. Гармонический осциллятор. Пружинный, физический и математический маятники

Гармоническим осциллятором называется система, совершающая колебания, описываемые уравнением вида (140.6):

$$\ddot{s} + \omega_0^2 s = 0. \tag{142.1}$$

Колебания гармонического осциллятора являются важным примером периодического движения и служат точной или приближенной моделью во многих задачах классической и квантовой физики. Примерами гармонического осциллятора являются пружинный, физический и математический маятники, колебательный контур (для токов и напряжений столь малых, что элементы контура можно было бы считать линейными; см. § 146).

1. Пружинный маятник — это груз массой m, подвешенный на абсолютно упругой пружине и совершающий гармонические колебания под действием упругой силы F = -kx, где $\kappa = \kappa$ месткость пружины. Уравнение движения маятника в отсутствие сил трения

$$m\ddot{x} = -kx$$
, или $\ddot{x} + \frac{k}{m}x = 0$.

Из выражений (142.1) **и** (140.1) следует, что пружинный маятник совершает гармонические колебания **по** закону $\mathbf{x} = A \cos(\omega_0 t + \varphi)$ с циклической частотой

$$\omega_0 = \sqrt{\frac{k}{m}} \tag{142.2}$$

и периодом

$$T = 2\pi \sqrt{\frac{m}{k}}. (142.3)$$

Формула (142.3) справедлива для упругих колебаний в пределах, в которых выполняется закон Гука [см. (21.3)], т.е. когда масса пружины мала **по** сравнению с массой тела.

Потенциальная энергия пружинного маятника, согласно (141.5) и (142.2),

$$\Pi = \frac{kx^2}{2}.$$

2. Физический маятник — это твердое тело, совершающее под действием силы тяжести колебания вокруг неподвижной горизоптальной оси, прохо-

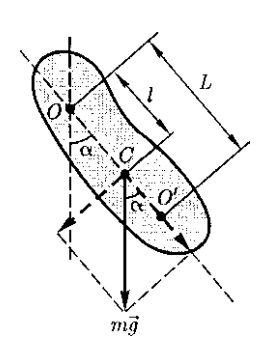


Рис. 203

дящей через точку *0*, не совпадающую с центром масс Стела (рис. 203).

Если маятник отклонен из положения равновесия на некоторый угол а, то в соответствии с уравнением динамики вращательного движения твердого тела (18.3) в отсутствие сил трения вращающий момент M можно записать в виде

$$M = J\varepsilon = J\ddot{\alpha} =$$

$$= -mgl\sin\alpha \approx -mgl\alpha, \quad (142.4)$$

где J — момент инерции маятника относительно оси, проходящей через точку подвеса O; l — расстояние между ней и центром масс маятника.

Вращающий момент стремится вернуть маятник в положение равновесия и в этом отношении аналогичен упругой силе. Поэтому так же, как смещению и упругой силе, моменту M и угловому смещению а приписывают противоположные знаки. При малых колебаниях маятника (малых отклонениях маятника из положения равновесия) $\sin \alpha \approx$ а. Тогда уравнение (142.4) можно записать в виде

$$J\ddot{\alpha} + mgl\alpha = 0$$
, или $\ddot{\alpha} + \frac{mgl}{J}\alpha = 0$.

Принимая

$$\omega_0 = \sqrt{\frac{mgl}{J}}, \qquad (142.5)$$

получим уравнение

$$\ddot{\alpha} + \omega_0^2 \alpha = 0,$$

идентичное с (142.1), решение которого [см. (140.1)] известно:

$$\alpha = \alpha_0 \cos(\omega_0 t + \varphi) \mathbf{I}.$$
 (142.6)

Из выражения (142.6) следует, что при малых колебаниях физический маятник совершает гармонические колебания с циклической частотой ω_0 [см. (142.5)] и периодом

$$T = \frac{2\pi}{\omega_0} = 2\pi \sqrt{\frac{J}{mgl}} = 2\pi \sqrt{\frac{L}{g}}, (142.7)$$

где $L = \frac{J}{ml}$ — приведенная длина физического маятника.

Точка O' на продолжении прямой OC, отстоящая от точки O подвеса маятника на расстоянии приведенной длины L, называется **центромкачаний** физического маятника (см. рис. 203). Применяя теорему Штейнера (16.1), получим

$$L = \frac{J}{ml} = \frac{J_C + ml^2}{ml} = l + \frac{J_C}{ml} > l,$$

т.е. *00'* всегда больше *OC*. Точка подвеса *O* маятника и центр качаний *O'* обладают *свойством взаимозаменяе-мости:* если точку подвеса перенести в центр качаний, то прежняя точка *O* подвеса станет новым центром качаний, и период колебаний физического маятника не изменится.

3. *Математический маятник* — это *идеализированная* система, состоящая из материальной точки массой *m*, подвешенной на нерастяжимой невесомой нити, и колеблющаяся под действием силы тяжести.

Хорошим приближением математического маятника является небольшой тяжелый шарик, подвешенный на тонкой длинной нити.

Момент инерции математического маятника

$$J = ml^2, (142.8)$$

где / — длина маятника.

Так как математический маятник можно представить как *частный случай физического маятника*, предположив, что вся его масса сосредоточена в одной точке — центре масс, то, подставив выражение (142.8) в формулу (142.7), получим выражение для периода малых колебаний математического маятника

$$T = 2\pi \sqrt{\frac{l}{g}}.$$
 (142.9)

Сравнивая формулы (142.7) и (142.9), видим, что если приведенная длина L физического маятника равна длине / математического маятника, то периоды колебаний этих маятников одинаковы. Следовательно, приведенная длина физического маятника — это длина такого математического маятника, период колебаний которого совпадает с периодом колебаний данного физического маятника.

§ 143. Свободные гармонические колебания в колебательном контуре

Среди различных физических явлений особое место занимают электромагнитные колебания, при которых электрические величины (заряды, токи) периодически изменяются и которые сопровождаются взаимными превращениями электрического и магнитного полей. Для возбуждения и поддержания электромагнитных колебаний используется колебательный контур — цепь, состоящая из включенных последовательно катушки индуктивностью L,

конденсатора емкостью C и резистора сопротивлением R.

Рассмотрим последовательные стадии колебательного процесса в идеализированном контуре, сопротивление которого пренебрежимо мало $(R \approx 0)$. Для возбуждения в контуре колебаний конденсатор предварительно заряжают, сообщая его обкладкам заряды $\pm Q$. Тогда в начальный момент времени t = 0(рис. 204, а) между обкладками конденсатора возникнет электрическое поле, энергия которого $\frac{Q^2}{2C}$ [см. (95.4)]. Если замкнуть конденсатор на катушку индуктивности, он начнет разряжаться, и в контуре потечет возрастающий со временем ток /. В результате энергия электрического поля будет уменьшаться, а энергия магнитного поля катушки (она равна $\frac{LQ^2}{}$) — возрастать.

Так как $R \approx 0$, то, согласно закону сохранения энергии, полная энергия

$$W = \frac{Q^2}{2C}$$

$$E = \Pi_{\text{max}}$$

$$W = \frac{L\dot{Q}^2}{2}$$

$$W = \frac{Q^2}{2C}$$

$$W = \frac{Q^2}{2C}$$

$$W = \frac{Q^2}{2C}$$

$$W = \frac{Q^2}{2C}$$

$$E = \Pi_{\text{max}}$$

$$E = \Pi_{\text{max}}$$

Рис. 204

$$W = \frac{Q^2}{2C} + \frac{L\dot{Q}^2}{2} = \text{const},$$

так как она на нагревание не расходуется. Поэтому в момент $t = \frac{T}{t}$, когда конденсатор полностью разрядится, энергия электрического поля обращается в нуль, а энергия магнитного поля (а следовательно, и ток) достигает наибольшего значения (рис. 204, б). С этого момента ток в контуре будет убывать, следовательно, начнет ослабевать магнитное поле катушки, и в ней будет индуцироваться ток, который течет (согласно правилу Ленца) в том же направлении, что и ток разрядки конденсатора. Конденсатор начнет перезаряжаться, возникнет электрическое поле, стремящееся ослабить ток, который в конце концов обратится в нуль, а заряд на обкладках конденсатора достигнет максимума (рис. 204, в). Далее те же процессы начнут протекать в обратном направлении (рис. 204, г) и система к моменту времени $t - \Gamma$ придет в первоначальное состояние (см. рис. 204, a). После этого начнется повторение рассмотренного цикла разрядки и зарядки конденсатора.

Если бы потерь энергии не было, то в контуре совершались бы периодические незатухающие колебания, т. е. периодически изменялись (колебались) бы заряд Q на обкладках конденсатора, напряжение U на конденсаторе и сила тока /, текущего через катушку индуктивности. Следовательно, в контуре возникают электромагнитные колебания, причем колебания сопровождаются превращениями энергий электрического и магнитного полей.

Электромагнитные колебания в колебательном контуре можно сопоставить с механическим колебаниями маятника (рис. 204), сопровождающими-

ся взаимными превращениями потенциальной и кинетической энергий маятника. В данном случае энергия электрического поля конденсатора $(\frac{Q^2}{2C})$ аналогична потенциальной энергии маятника, энергия магнитного поля катушки $(\frac{JQ^2}{2C})$ — кинетической энергии, сила тока в контуре — скорости движения маятника. Индуктивность L играет роль массы m, а сопротивление контура — роль силы трения, действующей на маятник.

Согласно закону Ома, для контура, содержащего катушку индуктивностью L, конденсатор емкостью Си резистор сопротивлением R,

$$IR + U_C = \mathscr{E}_s$$

где IR — напряжение на резисторе; $U_C =$ — напряжение на конденсаторе; $\mathscr{E}_s - -L \xrightarrow{\simeq}$ ЭДС самоиндукции, возникающая в катушке при протекании в ней переменного тока ($\mathscr{E}_s -$ единственная ЭДС в контуре).

Следовательно,

$$L\frac{dI}{dt} + IR + \frac{Q}{C} = 0.$$
 (143.1)

Разделив (143.1) на L и подставив /=Q и - Q, получим дифференциальное уравнение колебаний заряда Q в контуре:

$$\ddot{Q} + \frac{R}{L}\dot{Q} + \frac{1}{LC}Q = 0.$$
 (143.2)

В данном колебательном контуре внешние ЭДС отсутствуют, поэтому рассматриваемые колебания представляют собой *свободные* колебания (см. § 140). Если сопротивление R=0, то свободные электромагнитные колебания в контуре являются *гармонически*-

ми. Тогда из (143.2) получим дифференциальное уравнение свободных гармонических колебаний заряда в контуре:

$$\ddot{Q} + \frac{1}{LC}Q = 0.$$

Из выражений (142.1) и (140.1) вытекает, что заряд Q совершает гармонические колебания по закону

$$Q = Q_{\rm m}\cos(\omega_0 t + \varphi), \quad (143.3)$$

где $Q_{\rm m}$ — амплитуда колебаний заряда конденсатора с циклической частотой ω_0 , называемой собственной частотот контура, т. е.

$$\omega_0 = \frac{1}{\sqrt{LC}} \tag{143.4}$$

и периодом

$$T = 2\pi\sqrt{LC}.\tag{143.5}$$

Формула (143.5) впервые была получена У.Томсоном и называется *формулой Томсона*. Сила тока в колебательном контуре [см. (140.4)]

$$I = Q = -\omega_0 Q_{\rm m} \sin(\omega_0 t + \varphi) =$$

$$= I_{\rm m} \cos\left(\omega_0 t + \varphi + \frac{\pi}{2}\right), \quad (143.6)$$

где $I_{\mathrm{m}} = \omega_0 Q_{\mathrm{m}}$ — амплитуда силы тока. Напряжение на конденсаторе

$$U_C = \frac{Q}{C} = \frac{Q_{\rm m}}{C} \cos(\omega_0 t + \varphi) =$$
$$= U_{\rm m} \cos(\omega_0 t + \varphi), \qquad (143.7)$$

 $U_{\rm m} = \frac{Q_{\rm m}}{C}$ — амплитуда напряжения.

Из выражений (143.3) и (143.6) вытекает, что колебания тока / опережают по фазе колебания заряда Q на -, т.е., когда ток достигает максимального значения, заряд (а также и напряжение [см. (143.7)] обращается в нуль, и наоборот.

Рис. 205

§ 144. Сложение гармонических колебаний одного направления и одинаковой частоты. Биения

Колеблющееся тело может участвовать в нескольких колебательных процессах, тогда необходимо найти результирующее колебание, иными словами, колебания необходимо сложить. Сложим гармонические колебания одного направления и одинаковой частоты:

$$\begin{cases} x_1 = A_1 \cos(\omega_0 t + \varphi_1), \\ x_2 = A_2 \cos(\omega_0 t + \varphi_2), \end{cases}$$

воспользовавшись методом вращающегося вектора амплитуды (см. § 140). Построим векторные диаграммы этих колебаний (рис. 205). Так как векторы A_1 и A_2 вращаются с одинаковой угловой скоростью ω_0 , то разность фаз $(\varphi_2 - \varphi_1)$ между ними остается постоянной. Очевидно, что уравнение результирующего колебания будет

$$x = x_1 + x_2 = A\cos(\omega_0 t + \varphi)$$
. (144.1)

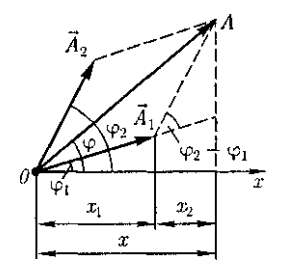
В выражении (144.1) амплитуда A и начальная фаза φ соответственно задаются соотношениями

$$A^{2} = A_{1}^{2} + A_{2}^{2} + 2A_{1}A_{2}\cos(\varphi_{2} - \varphi_{1});$$

$$tg\varphi = \frac{A_{1}\sin\varphi_{1} + A_{2}\sin\varphi_{2}}{A_{1}\cos\varphi_{1} + A_{2}\cos\varphi_{2}}.$$
(144.2)

Таким образом, тело, участвуя в двух гармонических колебаниях одного направления и одинаковой частоты, совершает также гармоническое колебание в том же направлении и с той же частотой, что и складываемые колебания. Амплитуда результирующего колебания зависит от разности фаз $(\phi_2 - \phi_1)$ складываемых колебаний.

Проанализируем выражение (144.2) в зависимости от разности фаз $(\varphi_2 - \varphi_1)$:



1) $\varphi_2 - \varphi_1 = \pm 2m\pi (m = 0, 1, 2, ...)$, тогда $A = A_1 + A_2$, т.е. амплитуда результирующего колебания A равна сумме амплитуд складываемых колебаний;

 $2) \varphi_2 - \varphi = \pm (2m+1)\pi (m=0, 1, 2, ...),$ тогда $A - |A_1 - A_2|$, т.е. амплитуда результирующего колебания равна разности амплитуд складываемых колебаний.

Для практики особый интерес представляет случай, когда два складываемых гармонических колебания одинакового направления мало отличаются по частоте. В результате сложения этих колебаний получаются колебания с периодически изменяющейся амплитудой. Периодические изменения амплитуды колебания, возникающие при сложении двух гармонических колебаний с близкими частотами, называются биениями.

Пусть амплитуды складываемых колебаний равны A, а частоты равны ω и $\omega + \Delta \omega$, причем $\Delta \omega \ll \omega$. Начало отсчета выберем так, чтобы начальные фазы обоих колебаний были равны нулю:

$$\begin{cases} x_1 = A\cos\omega t, \\ x_2 = A\cos(\omega + \Delta\omega)t. \end{cases}$$

Складывая эти выражения и учитывая, что $\frac{\Delta \omega}{2}$ \ll ω , найдем

$$x = \left(2A\cos\frac{\Delta\omega}{2}t\right)\cos\omega t.$$
 (144.3)

Результирующее колебание (144.3) можно рассматривать как гармониче-

ское с частотой ω , амплитуда A_6 которого изменяется по следующему периодическому закону:

$$A_6 = \left| 2A \cos \frac{\Delta \omega}{2} t \right|. \tag{144.4}$$

Частота изменения A_6 в два раза больше частоты изменения косинуса (так как берется по модулю), т.е. частота биений равна разности частот склалываемых колебаний:

$$\omega_6 = \Delta \omega$$
.

Период биений

$$T_6 = \frac{2\pi}{\Delta\omega}.$$

Характер зависимости (144.3) показан на рис. 206, где сплошные линии дают график результирующего колебания (144.3), а огибающие их штриховые — график медленно меняющейся по уравнению (144.4) амплитуды.

Определение частоты тона [звука определенной высоты (см. § 158)] биений между эталонным и измеряемым колебаниями— наиболее широко применяемый на практике метод сравнения измеряемой величины с эталонной. Метод биений используется для настройки музыкальных инструментов, анализа слуха и т.д.

Любые сложные периодические колебания s = f(t) можно представить в виде суперпозиции одновременно совер-

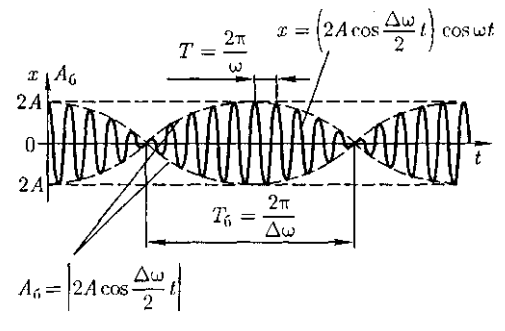


Рис. 206

шающихся гармонических колебаний с различными амплитудами, различными начальными фазами, а также частотами, кратными циклической частоте ω_0 :

$$s = f(t) = \frac{A_0}{2} + A_1 \cos(\omega_0 t + \varphi_1) + A_2 \cos(2\omega_0 t + \varphi_2) + \dots$$

$$\dots + A_n \cos(n\omega_0 t + \varphi_n).$$
(144.5)

Представление периодической функции в виде (144.5) связывают с понятием гармонического анализа сложного периодического колебания, или разложения Фурье¹. Слагаемые ряда Фурье, определяющие гармонические колебания с частотами ω_0 , $2\omega_0$, $3\omega_0$, ..., называются первой (или основной), второй, третьей и т. д. гармониками сложного периодического колебания.

§ 145. Сложение взаимно перпендикулярных колебаний

Рассмотрим результат сложения двух гармонических колебаний одинаковой частоты ω , происходящих во взаимно перпендикулярных направлениях вдоль осей x и y. Для простоты начало отсчета выберем так, чтобы начальная фаза первого колебания была равна нулю, и запишем

$$x = A\cos\omega t,$$

$$y =$$
(145.1)

где а — разность фаз обоих колебаний; A и B — амплитуды складываемых колебаний.

Уравнение траектории результирующего колебания находится исключением из выражений (145.1) параметра t.

¹ Ж. Фурье (1768 — 1830) — французский уче-

Записывая складываемые колебания в виле

$$\frac{x}{A} = \cos \omega t$$
;

 $\frac{y}{g} = \cos(\omega t + \alpha) = \cos \omega t \cos \alpha - \sin \omega t \sin \alpha$ $\frac{y}{g} = \cos(\omega t + \alpha) = \cos \omega t \cos \alpha - \sin \omega t \sin \alpha$ и заменяя во втором удавнении $\cos \omega t$ на $\frac{x}{A}$ и $\sin \omega t$ на $\sqrt{1-\left(\frac{x}{A}\right)^2}$, получим после несложных преобразований уравнение эллипса, оси которого ориентированы относительно координатных осей произвольно:

$$\frac{x^2}{A^2} - \frac{2xy}{AB}\cos\alpha + \frac{y^2}{B^2} = \sin^2\alpha. \ (145.2)$$

Так как траектория результирующего колебания имеет форму эллипса, то такие колебания называются эллиптически поляризованными.

Ориентация эллипса и размеры его осей зависят от амплитуд складываемых колебаний и разности фаз а. Рассмотрим некоторые частные случаи, представляющие физический интерес:

1) $\alpha = 2m\frac{\pi}{2}$ ($m=0, \ \pm 1, \ \pm 2, \ ...$) В данном случае эллипс вырождается в отрезок прямой

$$y = \pm \frac{B}{A}x, \tag{145.3}$$

где знак «+» соответствует нулю и четным значениям m (рис. 207, a), а знак «-» - нечетным значениям m

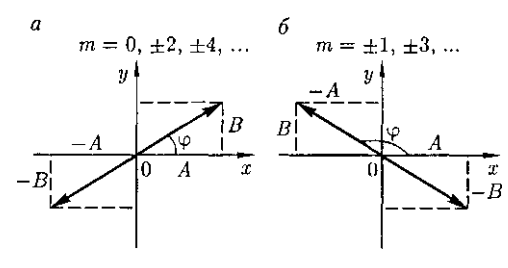
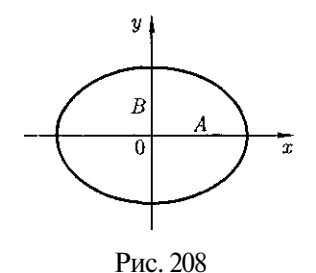


Рис.207



(рис. 207, б). Результирующее колебание является гармоническим колебанием с частотой ω и амплитудой $\sqrt{A^2 + B^2}$, совершающимся вдоль прямой [см. (145.3)], составляющей с осью *x* угол

$$\varphi = \arctan\left(\frac{B}{A}\cos m\pi\right)$$
. В данном случае

имеем дело слинеино поляризованны-

ми колебаниями; $\alpha = (2m+1)\frac{\pi}{2}$ $(m=0,\pm 1,\pm 2,...)$. В данном случае уравнение примет вид

$$\frac{x^2}{A^2} + \frac{y^2}{B^2} = 1. (145.4)$$

Это уравнение эллипса, оси которого совпадают с осями координат, а его полуоси равны соответствующим амплитудам (рис. 208). Кроме того, если A = B, то эллипс [см. (145.4)] вырождается в окружность. Такие колебания называются циркулярнополяризованными колебаниями или колебаниями, поляризованными по кругу.

Если частоты складываемых взаимно перпендикулярных колебаний различны, то замкнутая траектория результирующего колебания довольно сложна. Замкнутые траектории, прочерчиваемые точкой, совершающей одновременно два взаимно перпендикулярных колебания, называются фигурами **Лиссажу**¹. Вид этих кривых зависит от соотношения амплитуд, частот и разности фаз складываемых колеба-

¹ Ж. Лиссажу (1822-1880) - французский физик.

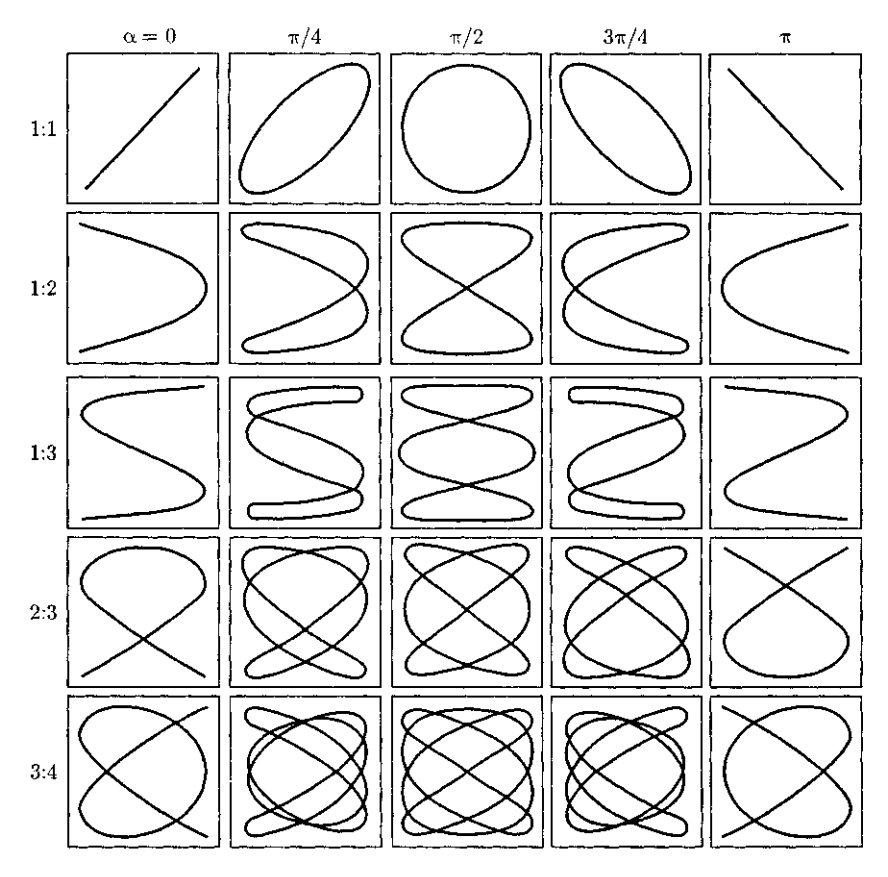


Рис. 209

ний. На рис. 209 представлены фигуры Лиссажу для различных соотношений частот (указаны слева) и разностей фаз (указаны вверху; разность фаз принимается равной α).

Отношение частот складываемых колебаний равно отношению числа пересечений фигур Лиссажу с прямыми, параллельными осям координат. По виду фигур можно определить неизвестную частоту по известной или определить отношение частот складываемых колебаний. Поэтому анализ фигур Лиссажу — широко используемый метод исследования соотношений частот и разности фаз складываемых колебаний, а также формы колебаний.

§ 146. Дифференциальное уравнение свободных затухающих колебаний (механических и электромагнитных) и его решение. Автоколебания

Рассмотрим свободные затухающие колебания — колебания, амплитуды которых из-за потерь энергии реальной колебательной системой с течением времени уменьшаются. Простейшим механизмом уменьшения энергии колебаний является ее превращение в теплоту вследствие трения в механических колебательных системах, а также омических потерь и излучения электромаг-

нитнои энергии в электрических колебательных системах.

Закон затухания колебаний определяется свойствами колебательных систем. Обычно рассматривают линейные системы — идеализированные реальные системы, в которых параметры, определяющие физические свойства системы, в ходе процесса не изменяются. Линейными системами являются, например, пружинный маятник при малых растяжениях пружины (когда справедлив закон Гука), колебательный контур, индуктивность, емкость и сопротивление которого не зависят ни от тока в контуре, ни от напряжения.

Различные по своей природе линейные системы описываются идентичными линейными дифференциальными уравнениями, что позволяет подходить к изучению колебаний различной физической природы с единой точки зрения, а также проводить их моделирование, в том числе и на ЭВМ.

Дифференциальное уравнение свободных затухающих колебаний линейной системы задается в виде

$$\frac{\mathrm{d}^2 s}{\mathrm{d}t^2} + 2\delta \frac{\mathrm{d}s}{\mathrm{d}t} + \omega_0^2 s = 0, \quad (146.1)$$

где s — колеблющаяся величина, описывающая тот или иной физический процесс; $\mathbf{6} = \mathrm{const} - \kappa o \mathbf{2} \mathbf{4} \mathbf{6} \mathbf{6}$ диклическая частота свободных незатухающих колебаний той же колебательной системы, т.е. при $\mathbf{6} - \mathbf{0}$ (при отсутствии потерь энергии) называется $\mathbf{co6} \mathbf{6} \mathbf{6} \mathbf{6} \mathbf{6} \mathbf{6}$ колебательной системы.

Решение уравнения (146.1) рассмотрим в виде

$$s = e^{-\delta t} u, \qquad (146.2)$$

где u = u(t).

После нахождения первой и второй производных выражения (146.2) и подстановки их в (146.1) получим

$$\ddot{u} + (\omega_0^2 - \delta^2)u = 0.$$
 (146.3)

$$\ddot{u} + (\omega_0^2 - \delta^2)u = 0.$$
 (146.3)

Решение уравнения (146.3) зависит от знака коэффициента перед искомой величиной. Рассмотрим случай, когда этот коэффициент положителен:

$$\omega^2 = \omega_0^2 - \delta^2$$
 (146.4)

[если $(u^2 - \delta^2) > 0$, то такое обозначение мы вправе сделать]. Тогда получим уравнение типа (142.1) $u + \omega^2 u = 0$, решением которого является функция $u = A_0 \cos(\omega t + \varphi)$ [см. (140.1)]. Таким образом, решение уравнения (146.1) в случае малых затуханий ($\delta^2 \ll \omega_0^2$)

$$s = A_0 e^{-\delta t} \cos(\omega t + \varphi)$$
, (146.5)

где

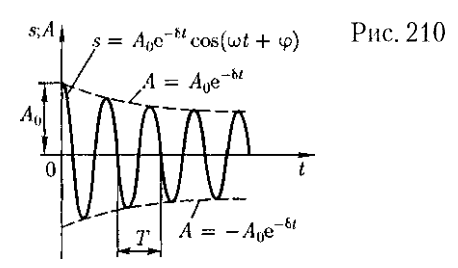
$$A = A_0 e^{-\delta t} \tag{146.6}$$

— амплитуда затухающих колебаний; A_0 — начальная амплитуда.

Зависимость (146.5) показана па рис. 210 сплошной линией, а зависимость (146.6) — штриховыми линиями.

которого амплитуда затухающих колебаний уменьшается в е раз, называется временем релаксации.

Затухание нарушает периодичность колебаний, поэтому затухающие колебания не являются периодическими и, строго говоря, к ним неприменимо понятие периода или частоты. Однако если затухание мало, то можно условно пользоваться понятием периода как промежутка времени между двумя пос-



ледующими максимумами (или минимумами) колеблющейся физической величины (см. рис. 210). Тогда период затухающих колебаний с учетом формулы (146.4) равен

$$T = \frac{2\pi}{\omega} = \frac{2\pi}{\sqrt{\omega_0^2 - \delta^2}}.$$

Если A(t) и A(t+T) — амплитуды двух последовательных колебаний, соответствующих моментам времени, отличающимся на период, то отношение

$$\frac{A(t)}{A(t+T)} = e^{\delta T}$$

называется *декрементом затухания*, а его логарифм

$$\theta = \ln \frac{A(t)}{A(t+T)} = \delta T = \frac{T}{\tau} = \frac{1}{N_e}$$
 (146.7)

— логарифмическим декрементом затухания; $N_{\rm e}$ — число колебаний, совершаемых за время уменьшения амплитуды в е раз. Логарифмический декремент затухания — постоянная величина для данной колебательной системы.

Для характеристики колебательной системы пользуются понятием ∂ обротности Q, которая при малых значениях логарифмического декремента

$$Q = \frac{\pi}{\theta} = \pi N_{\rm c} = \frac{\pi}{\delta T_0} = \frac{\omega_0}{2\delta}$$
 (146.8)

(так как затухание мало ($6^2 \ll \omega_0^2$), то T принято равным T_0).

Из формулы (146.8) следует, что добротность пропорциональна числу колебаний $N_{\rm e}$, совершаемых системой за время релаксации.

Выводы, полученные для свободных затухающих колебаний линейных систем, применимы для колебаний различной физической природы — механиче-

ских (в качестве примера рассмотрим пружинный маятник) и электромагнитных (в качестве примера рассмотрим электрический колебательный контур).

1. Свободные затухающие колебания пружинного маятника. Для пружинного маятника (см. § 142) массой m, совершающего малые колебания под действием упругой силы F = -kx, сила трения пропорциональна скорости, т. е.

$$F_{\text{TD}} = -rv = -r\dot{x},$$

где г — коэффициент сопротивления; знак «-» указывает на противоположные направления силы трения и скорости.

При данных условиях закон движения маятника будет иметь вид

$$m\ddot{x} = -kx - r\dot{x}.\tag{146.9}$$

Используя формулу $\omega_0 = \sqrt{\frac{k}{m}}$ [см. (142.2)] и принимая, что коэффициент затухания

$$\delta = \frac{r}{2m},\tag{146.10}$$

получим идентичное уравнению (146.1) дифференциальное уравнение затухающих колебаний маятника:

$$\ddot{x} + 2\delta\dot{x} + \omega_0^2 x = 0.$$

Из выражений (146.1) **и** (146.5) вытекает, что колебания маятника подчиняются закону

$$x = A_0 e^{-\delta t} \cos(\omega t + \varphi),$$

где частота
$$\omega=\sqrt{\omega_0^2-\frac{r^2}{4m^2}}$$
 [см. (146.4)]. Добротность пружинного маятника,

доорогность пружинного маятника, согласно (146.8) и (146.10), $Q = \frac{\sqrt{km}}{m}$

2. Свободные затухающие колебания в электрическом колебательном контуре. Дифференциальное уравнение свободных затухающих колебаний

заряда в контуре (при $R \neq 0$) имеет вид [см. (143.2)]

$$\ddot{Q} + \frac{R}{L}\dot{Q} + \frac{1}{LC}Q = 0.$$

Учитывая выражение (143.4) и принимая коэффициент затухания

$$\delta = \frac{R}{2L},\tag{146.11}$$

дифференциальное уравнение (143.2) можно записать в идентичном уравнению (146.1) виде

$$\ddot{Q} + 2\delta \dot{Q} + \omega_0^2 Q = 0.$$

Из выражений (146.1) и (146.5) вытекает, что колебания заряда совершаются **по** закону

$$Q = Q_{\rm m} {\rm e}^{-\delta t} \cos(\omega t + \varphi) \ \ (146.12)$$
 с частотой, согласно (146.4),

$$\omega = \sqrt{\frac{1}{LC} - \frac{R^2}{4L^2}}, \quad (146.13)$$

меньшей собственной частоты контура ω_0 [см. (143.4)]. При R=0 формула (146.13) переходит в (143.4).

Таблица 7

Колебания			
механические		электромагнитные	
Дифференциальное уравнение	$\ddot{x} + \frac{r}{m}\dot{x} + \frac{k}{m}x = 0$ $\ddot{x} + 2\delta\dot{x} + \omega_0^2 x = 0$	Дифференциальное уравнение	$\ddot{Q} + \frac{R}{L}\dot{Q} + \frac{1}{LC}Q = 0$ $\ddot{Q} + 2\delta\dot{Q} + \omega_0^2 Q = 0$
Macca	'n	Индуктивность катушки	L
Коэффициент сопротивления	r	Сопротивление	R
Коэффициент жесткости	k	Обратная величина емкости	$\frac{1}{C}$
Смещение	x	Заряд	Q
Скорость	v	Сила тока	I
Потенциальная энергия	$\frac{kx^2}{2}$	Энергия электрическо- го поля конденсатора	$rac{Q^2}{2C}$
Кинетическая энергия	$\frac{mv^2}{2}$	Энергия магнитного поля катушки	$rac{LI^2}{2}$
Собственная частота пружинного маятника	$\omega_0 = \sqrt{\frac{k}{m}}$	Собственная частота колебательного контура	$\omega_0 = \frac{1}{\sqrt{LC}}$
Циклическая частота затухающих колебаний	$\omega = \sqrt{\frac{k}{m} - \left(\frac{r}{2m}\right)^2}$	Циклическая частота затухающих колебаний	$\omega = \sqrt{\frac{1}{LC} - \left(\frac{R}{2L}\right)^2}$
Коэффициент затухания	$\delta = \frac{r}{2m}$	Коэффициент затухания	$\delta = \frac{R}{2L}$
Добротность пружин- пого маятника	$Q = \frac{\omega_0}{2\delta} = \frac{\sqrt{km}}{r}$	Добротность колеба- тельного контура	$Q = \frac{\omega_0}{2\delta} = \frac{1}{R} \sqrt{\frac{L}{C}}$

Логарифмический декремент затухания определяется формулой (146.7), а добротность колебательного контура [см. (146.8)]

$$Q = \frac{1}{R} \sqrt{\frac{L}{C}}.$$
 (146.14)

В табл. 7 произведено сопоставление затухающих колебаний пружинного маятника и колебаний в электрическом колебательном контуре.

В заключение отметим, что при увеличении коэффициента затухания 6 период затухающих колебаний растет и при $8=\omega_0$ обращается в бесконечность, т.е. движение перестает быть периодическим. В этом случае колеблющаяся величина асимптотически приближается к нулю, когда $t \to \infty$. Данный процесс будет *апериодическим*, а не колебательным.

Огромный интерес для техники представляет возможность поддерживать колебания незатухающими. Для этого необходимо восполнять потери энергии реальной колебательной системы. Особенно важны и широко применимы так называемые автоколебания — незатухающие колебания, поддерживаемые в диссипативной системе за счет постоянного внешнего источника энергии, причем свойства этих колебаний опрелеляются самой системой.

Автоколебания принципиально отличаются от свободных незатухающих колебаний, происходящих без последующих внешних воздействий, а также от вынужденных колебаний (см. § 147), происходящих под действием периодической силы. Автоколебательная система сама управляет внешними воздействиями, обеспечивая согласованность поступления энергии определенными порциями в нужный момент времени (в такт с ее колебаниями).

Примером автоколебательной системы могут служить часы. Храповой механизм подталкивает маятник в такт с его колебаниями. Энергия, передаваемая при этом маятнику, берется либо за счет раскручивающейся пружины, либо за счет опускающегося груза. Колебания воздуха в духовых инструментах и органных трубах также возникают вследствие автоколебаний, поддерживаемых воздушной струей.

Автоколебательными системами являются также двигатели внутреннего сгорания, паровые турбины, ламповые генераторы и т.д.

§ 147. Дифференциальное уравнение вынужденных колебаний (механических и электромагнитных) и его решение

Чтобы в реальной колебательной системе получить незатухающие колебания, надо компенсировать потери энергии. Такая компенсация возможна с помощью какого-либо периодически действующего фактора X(t), изменяющего по гармоническому закону:

$$X(t) = X_0 \cos \omega t$$
.

Если рассматривать механические колебания, то роль X(t) играет внешняя вынуждающая сила

$$F = F_0 \cos \omega t. \tag{147.1}$$

С учетом (147.1) закон движения для пружинного маятника (146.9) запишется в виде

$$m\ddot{x} = -kx - r\dot{x} + F_0 \cos \omega t.$$

Используя (142.2) и (146.10), придем к уравнению

$$\ddot{x} + 2\delta \dot{x} + \omega_0^2 x = \frac{F_0}{m} \cos \omega t.$$
 (147.2)

Если рассматривать электрический колебательный контур, то роль X(t) играет подводимая к контуру внешняя периодически изменяющаяся по гармоническому закону ЭДС или переменное напряжение

$$U = U_{\rm m} \cos \omega t. \tag{147.3}$$

Тогда уравнение (143.2) с учетом (147.3) можно записать в виде

$$\ddot{Q} + \frac{R}{L}\dot{Q} + \frac{1}{LC}Q = \frac{U_{\rm m}}{L}\cos\omega t.$$

Используя (143.4) и (146.11), придем к уравнению

$$\ddot{Q} + 28\dot{Q} + \omega_0^2 Q = \frac{U_{\text{m}}}{L}\cos\omega t.$$
 (147.4)

Колебания, возникающие под действием внешней периодически изменяющейся силы или внешней периодически изменяющейся ЭДС, называются соответственно вынужденными механическими и вынужденными электромагнитными колебаниями.

Уравнения (147.2) и (147.4) можно свести к линейному неоднородному дифференциальному уравнению

$$\frac{\mathrm{d}^2 s}{\mathrm{d}t^2} + 2\delta \frac{\mathrm{d}s}{\mathrm{d}t} + \omega_0^2 s = x_0 \cos \omega t, (147.5)$$

применяя впоследствии его решение для вынужденных колебаний конкретной физической природы (x_0 в случае механических колебаний равно —, в случае электромагнитных $\dfrac{U}{L}$).

Решение уравнения (147.5) равно сумме общего решения (146.5) однородного уравнения (146.1) и частного решения неоднородного уравнения. Частное решение найдем в комплекс-

пой форме (см. § 140). Заменим правую часть уравнения (147.5) на комплексную величину $x_0e^{i\omega t}$:

$$\ddot{s} + 2\delta \dot{s} + \omega_0^2 s = x_0 e^{i\omega t}.$$
 (147.6)

Частное решение этого уравнения будем искать в виде

$$s = s_0 e^{i\eta t}$$
.

Подставляя выражение для s и его производных ($\dot{s}=i\eta s_0 \mathrm{e}^{i\eta t}, s=-\eta^2 s_0 \mathrm{e}^{i\eta t}$) в уравнение (147.6), получим

$$s_0 e^{i\eta t} (-\eta^2 + 2i\delta\eta + \omega_0^2) = x_0 e^{i\omega t} (147.7)$$

Так как это равенство должно быть справедливым для всех моментов времени, то время t из него должно исключаться. Отсюда следует, что т $|=\infty$. Учитывая это, из уравнения (147.7) найдем величину s_0 и умножим ее числитель и знаменатель на $(\omega_0^2-\omega^2-2i\delta\omega)$:

$$s_0 = \frac{x_0}{(\omega_0^2 - \omega^2) + 2i\delta\omega} =$$

$$= x_0 \frac{(\omega_0^2 - \omega^2) - 2i\delta\omega}{(\omega_0^2 - \omega^2)^2 + 4\delta^2\omega^2}.$$

 $= x_0 \frac{(\omega_0^2 - \omega^2)^2 + 4\delta^2 \omega^2}{(\omega_0^2 - \omega^2)^2 + 4\delta^2 \omega^2}.$

Это комплексное число удобно представить в экспоненциальной форме:

$$s_0 = A \mathrm{e}^{-i\varphi}$$

где

$$A = \frac{x_0}{\sqrt{(\omega_0^2 - \omega^2)^2 + 4\delta^2 \omega^2}}; (147.8)$$

$$\varphi = \arctan \frac{2\delta\omega}{\omega_0^2 - \omega^2}.$$
 (147.9)

Следовательно, решение уравнения (147.6) в комплексной форме примет вид

$$s = Ae^{i(\omega t - \varphi)}$$
.

Его вещественная часть, являющаяся решением уравнения (147.5), равна

$$s = A\cos(\omega t - \varphi), \qquad (147.10)$$

где A и ϕ задаются соответственно формулами (147.8) и (147.9).

Таким образом, частное решение неоднородного уравнения (147.5) имеет вид

$$s = \frac{x_0}{\sqrt{(\omega_0^2 - \omega^2)^2 + 4\delta^2 \omega^2}} \times \cos\left[\omega t - \arctan\frac{2\delta\omega}{\omega_0^2 - \omega^2}\right]. \quad (147.11)$$

Решение уравнения (147.5) равно сумме общего решения однородного уравнения

$$s_1 = A_0 e^{-\delta t} \cos(\omega_1 t - \varphi_1)$$
 (147.12)

[см. (146.5)] и частного решения (147.11). Слагаемое (147.12) играет существенную роль только в начальной стадии процесса (при установлении колебаний) до тех пор, пока амплитуда вынужденных колебаний не достигнет значения, определяемого равенством (147.8). Графически вынужденные колебания представлены на рис. 211. Следовательно, в установившемся режиме вынужденные колебания происходят с частотой ω и являются гармоническими; амплитуда и фаза колебаний, определяемые выражениями (147.8) и (147.9), также зависят от ω .

Запишем формулы (147.10), (147.8) и (147.9) для электромагнитных колебаний, учитывая, что $\omega_0^2 = \frac{1}{LC}$ [см. (143.4)] и $\delta = \frac{R}{2L}$ [см. (146.11)]:

Рис.211

$$Q_{\rm m} = \frac{U_{\rm m}}{\omega \sqrt{R^2 + \left(\omega L - \frac{1}{\omega C}\right)^2}};$$

$$tg \alpha = \frac{R}{\frac{1}{\omega C} - \omega L}.$$
(147.13)

Дифференцируя $Q = Q_{\rm m} \cos{(\omega t - a)}$ по t, найдем силу тока в контуре при установившихся колебаниях:

$$I = -\omega Q_{\rm m} \sin(\omega t - \alpha) =$$

$$= I_{\rm m} \cos\left(\omega t - \alpha + \frac{\pi}{2}\right), \quad (147.14)$$

гле

$$I_{\rm m} = \omega Q_{\rm m} = \frac{U_{\rm m}}{\sqrt{R^2 + \left(\omega L - \frac{1}{\omega C}\right)^2}} . (147.15)$$

Выражение (147.14) может быть записано в виде

$$I = I_{\rm m}\cos(\omega t - \varphi),$$

В соответствии с выражением (147.13)

$$tg \varphi = tg \left(\alpha - \frac{\pi}{2}\right) =$$

$$= -\frac{1}{tg \alpha} = \frac{\omega L - \frac{1}{\omega C}}{R}. \quad (147.16)$$

Из формулы (147.16) вытекает, что ток отстает **по** фазе от напряжения $(\varphi > 0)$, если $\omega L > \frac{1}{\omega L}$, и опережает напряжение $(\varphi < 0)$, если $\omega L < \frac{1}{\omega C}$.

Формулы (147.15) PI (147.16) можно также получить с помощью векторной диаграммы (см. § 149).

§ 148. Амплитуда и фаза вынужденных колебаний (механических и электромагнитных). Резонанс

Рассмотрим зависимость амплитуды A вынужденных колебаний от частоты ω . Механические и электромагнитные колебания будем рассматривать одновременно, называя колеблющуюся величину либо смещением (x) колеблющегося тела из положения равновесия, либо зарядом (Q) конденсатора.

Из формулы (147.8) следует, что амплитуда A смещения (заряда) имеет максимум. Чтобы определить **резонансную частоту**, при которой амплитуда A смещения (заряда) достигает максимума, — нужно найти максимум функции (147.8), или, что то же самое, минимум подкоренного выражения. Продифференцировав подкоренное выражение по ω и приравняв его нулю, получим условие, определяющее ω_{pes} :

$$-4(\omega_0^2 - \omega^2)\omega + 8\delta^2\omega = 0.$$

Это равенство выполняется при $\omega=0$, $\pm\sqrt{\omega_0^2-2\delta^2}$, у которых только лишь положительное значение имеет физический смысл. Следовательно, резонансная частота

$$\omega_{pc3} = \sqrt{\omega_0^2 - 2\delta^2}.$$
 (148.1)

Явление резкого возрастания амплитуды вынужденных колебаний при приближении частоты вынуждающей силы (частоты вынуждающего переменного напряжения) к частоте, равной

или близкой собственной частоте колебательной системы, называется **резонансом** (соответственно **механическим** или **электрическим**). При $6^2 \ll \omega_0^2$ значение ω_{pc3} практически совпадает с собственной частотой ω_0 колебательной системы. Подставляя (148.1) в формулу (147.8), получим

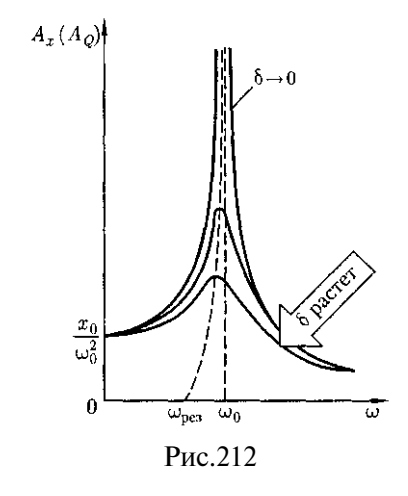
$$A_{\text{pea}} = \frac{x_0}{2\delta\sqrt{\omega_0^2 - \delta^2}}.$$
 (148.2)

На рис. 212 приведены зависимости амплитуды вынужденных колебаний от частоты при различных значениях 8. Из (148.1) и (148.2) вытекает, что чем меньше 8, тем выше и правее лежит максимум данной кривой. Если со \rightarrow 0, то все кривые [см. также (147.8)] достигают одного и того же, отличного от нуля, предельного значения - , которое на-

зывают *статическим отклонением*. В случае механических колебаний $\frac{1}{1.02}$ =

в случае электромагнитных —

 $\frac{\omega_{\text{III}}}{r_{\text{I}} \cdot 2}$. Если $\omega = > 0$, то все кривые асимптотически стремятся к нулю. Приведенная совокупность кривых называется **резонансными кривыми.**



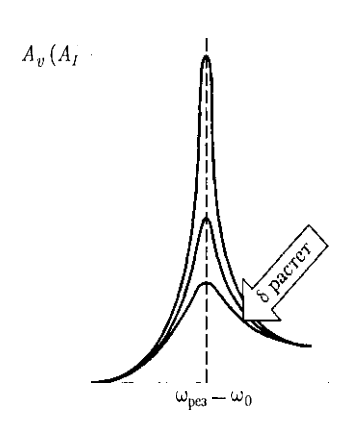


Рис.213

Из формулы (148.2) вытекает, что при малом затухании ($\delta^2 \ll \omega_0^2$) резонансная амплитуда смещения (заряда)

$$A_{\rm pes} = \frac{x_0}{2 \delta \omega_0} = \frac{\omega_0}{2 \delta} \frac{x_0}{\omega_0^2} = Q \frac{x_0}{\omega_0^2},$$

где Q — добротность колебательной системы [см. (146.8)]; — —рассмотренное выше статическое отклонение.

Отсюда следует, что добротность Q характеризует резонансные свойства колебательной системы: чем больше Q, тем больше $A_{\rm nea}$.

На рис. 213 представлены резонансные кривые для амплитуды скорости (тока). Амплитуда скорости (тока)

$$\omega A = \frac{x_0 \omega}{\sqrt{(\omega_0^2 - \omega^2)^2 + 4\delta^2 \omega^2}} = \frac{x_0}{\sqrt{\frac{(\omega_0^2 - \omega^2)^2}{\omega^2} + 4\delta^2}}$$

Рис.214 $\frac{\varphi}{\pi}$ $\frac{\pi}{2}$ $\frac{\pi}{$

максимальна при $\omega_{\rm pes} = \omega_0$ и равна $\frac{x_0}{2c}$, т.е. чем больше коэффициент затухания б, тем ниже максимум резонансной кривой. Используя формулы (142.2), (146.10) и (143.4), (146.11), получим, что амплитуда скорости при механическом резонансе равна

$$(A_v)_{\max} = \frac{x_0}{2\delta} = \frac{F_0}{r},$$

а амплитуда тока при электрическом резонансе

$$(A_I)_{\text{max}} = \frac{x_0}{2\delta} = \frac{U_{\text{m}}}{R}$$

Из выражения $tg \varphi = \frac{2\delta\omega}{\omega_0^2 - \omega^2}$ [см.

(147.9)] следует, что если затухание в системе отсутствует (8 = 0), то *только* в этом случае колебания и вынуждающая сила (приложенное переменное напряжение) имеют одинаковые фазы; во всех других случаях $\varphi \neq 0$.

Зависимость φ от ω при разных коэффициентах 8 графически представлена на рис. 214, из которого следует, что при изменении ω изменяется и сдвиг фаз ф. Из формулы (147.9) вытекает, что при $\omega - 0$ $\varphi = 0$, а при $\omega = \omega_0$ не зависимо от значения коэффициента затухания $\Phi = -$, т.е. сила (напряжение) опережает по фазе колебания на —. При дальнейшем увеличении ω сдвиг фаз возрастает и при $\omega \gg \omega_0 \varphi \rightarrow \pi$, т. е. фаза колебаний почти противоположна фазе внешней силы (переменного напряжения). Семейство кривых, изображенных на рис. 214, называется фазовыми резонансными кривыми.

Явления резонанса могут быть как вредными, так и полезными. Например, при конструировании машин и различного рода сооружений необходимо, чтобы собственная частота их колебаний

пе совпадала с частотоп возможных внешних воздействий, в противном случае возникнут вибрации, которые могут вызвать серьезные разрушения. С другой стороны, наличие резонанса позволяет обнаружить даже очень слабые колебания, если их частота совпадает с частотой собственных колебаний прибора. Так, радиотехника, прикладная акустика, электротехника используют явление резонанса.

§ 149. Переменный ток

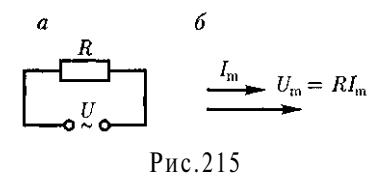
Установившиеся вынужденные электромагнитные колебания (см. § 147) можно рассматривать как протекание в цепи, содержащей резистор, катушку индуктивности и конденсатор переменного тока. *Переменный ток* можно считать *квазистационарным*, т. е. для него мгновенные значения силы тока во всех сечениях цепи практически одинаковы, так как их изменения происходят достаточно медленно, а электромагнитные возмущения распространяются по цепи со скоростью, равной скорости света.

Для мгновенных значений квазистационарных токов выполняются закон Ома и вытекающие из пего правила Кирхгофа, которые будут использованы применительно к переменным токам (эти законы уже использовались при рассмотрении электромагнитных колебаний).

Рассмотрим последовательно процессы, происходящие на участке цепи, содержащем резистор, катушку индуктивности и конденсатор, к концам которого приложено переменное напряжение

$$U = U_{\rm m} \cos \omega t, \qquad (149.1)$$

где $U_{\rm m}$ — амплитуда напряжения.



1. Переменный ток, текущий через резистор сопротивлением R ($L \rightarrow O$, $C \rightarrow 0$) (рис. 215, a). При выполнении условия квазистационарности ток через резистор определяется законом Ома:

$$I = \frac{U}{R} = \frac{U_{\rm m}}{R} \cos \omega t = I_{\rm m} \cos \omega t,$$

где амплитуда силы тока $I_{\mathrm{m}}=\frac{U_{\mathrm{m}}}{R}.$

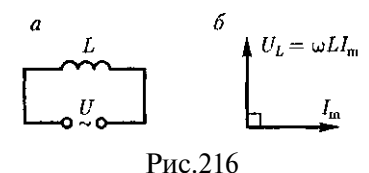
Для наглядного изображения соотношений между переменными токами и напряжениями воспользуемся методом векторных диаграмм. На рис. 215, 6 дана векторная диаграмма амплитудных значений тока $I_{\rm m}$ и напряжения $U_{\rm m}$ на резисторе (сдвиг фаз между $I_{\rm m}$ и $U_{\rm m}$ равен нулю).

2. Переменный ток, текущий через катушку индуктивностью L ($R \to 0$, $C \to 0$) (рис. 216, a). Если в цепи приложено переменное напряжение (149.1), то в ней потечет переменный ток, в результате чего возникнет ЭДС самоиндукции [см. (126.3)] $\mathscr{E}_s = -L$ —. Тогда закон Ома [см. (100.3)] для рассматриваемого участка цепи имеет вид

$$U_{\rm m}\cos\omega t - L\frac{\mathrm{d}I}{\mathrm{d}t} = 0,$$

откуда

$$L\frac{\mathrm{d}I}{\mathrm{d}t} = U_{\mathrm{m}}\cos\omega t. \qquad (149.2)$$



Так как внешнее напряжение приложено к катушке индуктивности, то

$$U_L = L \frac{\mathrm{d}I}{\mathrm{d}t} \tag{149.3}$$

есть падение напряжения на катушке. Из уравнения (149.2) следует, что

$$\mathrm{d}I = \frac{U_{\mathrm{ni}}}{L}\cos\omega t \,\mathrm{d}t.$$

После интегрирования, учитывая, что постоянная интегрирования равна нулю (так как отсутствует постоянная составляющая тока), получим

$$I = \frac{U_{\rm m}}{\omega L} \sin \omega t = \frac{U_{\rm m}}{\omega L} \cos \left(\omega t - \frac{\pi}{2} \right) =$$
$$= I_{\rm m} \cos \left(\omega t - \frac{\pi}{2} \right), \tag{149.4}$$

где $I_{\mathrm{m}} =$

Величина

$$R_L = (149.5)$$

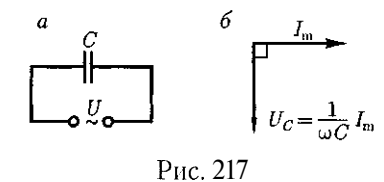
называется реактивным индуктивным сопротивлением (или индуктивным сопротивлением). Из выражения (149.5) вытекает, что для постоянного тока ($\omega - 0$) катушка индуктивности не имеет сопротивления. Подстановка значения $U_{\rm ini} = \omega L I_{\rm ini}$ в выражение (149.2) с учетом (149.3) приводит к следующему значению падения напряжения на катушке индуктивности:

$$U_L = \omega L I_{\rm m} \cos \omega t. \qquad (149.6)$$

Сравнение выражений (149.4) и (149.6) приводит к выводу, что падение напряжения U_L опережает по фазеток /,

текущии через катушку, на —, что и показано на векторной диаграмме (рис. $216, \delta$).

3. Переменный ток, текущий через конденсатор емкостью C ($R \rightarrow 0$, 274



 $L \rightarrow 0$) (рис. 217, a). Если переменное напряжение (149.1) приложено к конденсатору, то он все время перезаряжается, и в цепи течет переменный ток. Так как все внешнее напряжение приложено к конденсатору, а сопротивлением подводящих проводов можно пренебречь, то

$$\frac{Q}{C} = U_C = U_{\rm m} \cos \omega t.$$

Сила тока

$$I = \frac{\mathrm{d}Q}{\mathrm{d}t} = -\omega C U_{\mathrm{m}} \sin \omega t =$$

$$= I_{\mathrm{m}} \cos \left(\omega t + \frac{\pi}{2}\right), \qquad (149.7)$$

где
$$I_{\mathrm{m}} = \omega C U_{\mathrm{m}} = \frac{U_{\mathrm{m}}}{1/(\omega C)}.$$

Величина

$$R_C = \frac{1}{\omega C}$$

называется реактивным емкостным сопротивлением (или емкостным сопротивлением). Для постоянного тока $(\omega=0)$ $R_{\mathcal{C}}=\infty$, т. е. постоянный ток через конденсатор течь не может. Падение напряжения на конденсаторе

$$U_C = \frac{1}{\omega C} I_{\rm m} \cos \omega t. \quad (149.8)$$

Сравнение выражений (149.7) и (149.8) приводит к выводу, что падение напряжения U_C отстает по фазе от текущего через конденсатор тока I на —. Это показано на векторной диаграмме (рис. 217, б).

4. Цепь переменного тока, содержащая последовательно включенные резистор, катушку индуктивности и конденсатор. На рис. 218, a представлен участок цепи, содержащий резистор сопротивлением R, катушку индуктивностью L и конденсатор емкостью C, к концам которого приложено переменное напряжение (149.1). В цепи возникнет переменный ток, который вызовет на всех элементах цепи соответствующие падения напряжения U_R , U_L , и U_C .

На рис. 218,6 представлена векторная диаграмма амплитуд падений напряжений на резисторе (U_R), катушке (U_L) и конденсаторе (U_C).

Амплитуда $U_{\rm m}$ приложенного напряжения должна быть равна векторной сумме амплитуд этих падений напряжений. Как видно из рис. 218, δ , угол ϕ определяет разность фаз между напряжением и силой тока. Из рисунка следует, что [см. также формулу (147.16)]

$$tg\varphi = \frac{\omega L - \frac{1}{\omega C}}{R}.$$
 (149.9)

Из прямоугольного треугольника полу-

чаем
$$(RI_{\mathrm{m}})^2 + \left[\left(\omega L - \frac{1}{\omega C}\right)I_{\mathrm{m}}\right]^2 = U_{\mathrm{m}}^2$$
 ,

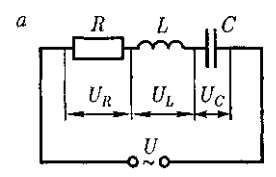
откуда амплитуда силы тока имеет значение

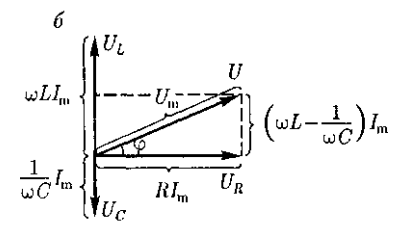
$$I_{\rm m} = \frac{U_{\rm m}}{\sqrt{R^2 + \left(\omega L - \frac{1}{\omega C}\right)^2}}, (149.10)$$

совпадающее с (147.15).

Следовательно, если напряжение в цепи изменяется по закону $U = -U_{\rm m}\cos\omega t$, тов цепи течет ток

$$I = I_{\rm m} \cos(\omega t - \varphi), (44.9.1)1)$$





Piic. 218

где φ и $I_{\rm m}$ определяются соответственно формулами (149.9) и (149.10). Величина

$$Z = \sqrt{R^2 + \left(\omega L - \frac{1}{\omega C}\right)^2} =$$

$$= \sqrt{R^2 + \left(R_L - R_C\right)^2} \quad (149.12)$$

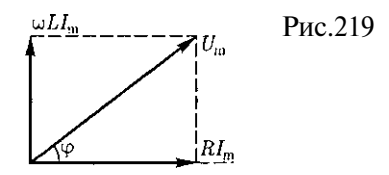
называется *полным сопротивлением* цепи, а величина

$$X = R_L - R_C = \omega L - \frac{1}{\omega C}$$

— реактивным сопротивлением.

Рассмотрим частный случай, когда в цепи отсутствует конденсатор. В данном случае падения напряжений U_R и U_L в сумме равны приложенному напряжению U. Векторная диаграмма для данного случая представлена на рис. 219, из которого следует, что

$$\operatorname{tg} \varphi = \frac{\omega L}{R}; I_{\text{in}} = \frac{U_{\text{in}}}{\sqrt{R^2 + (\omega L)^2}} .(149.13)$$



Выражения (149.9) и (149.10) совпадают с (149.13), если в них — = 0, т.е. C = 00. Следовательно, отсутствие конденсатора в цепи означает, что C = 00, а не C = 0. Данный вывод можно трактовать следующим образом: сближая обкладки конденсатора до их полного соприкосновения, получим цепь, в которой конденсатор отсутствует [расстояние между обкладками стремится к нулю, а емкость — к бесконечности; см. (94.3)].

§ 150. Резонанс напряжений

Если **в** цепи переменного тока, содержащей последовательно включенные конденсатор, катушку индуктивности **и** резистор (см. рис. 218),

$$\omega L = \frac{1}{\omega C},\tag{150.1}$$

то сдвиг фаз ϕ между током и напряжением (149.9) обращается в нуль (ϕ = 0), т.е. изменения тока и напряжения происходят синфазно. Условию (150.1) удовлетворяет частота

$$\omega_{\text{pc3}} = \frac{1}{\sqrt{LC}}.$$
 (150.2)

В данном случае полное сопротивление цепи Z (149.12) становится минимальным, равным активному сопротивлению R цепи, и ток в цепи определяется этим сопротивлением, принимая максимальные (возможные при данном $U_{\rm m}$) значения. При этом падение напряже-

Puc. 220
$$\frac{U_{\text{in}}}{RI_{\text{in}}} - - \frac{U_{\text{in}}}{RI_{\text{in}}}$$

ния на активном сопротивлении равно внешнему напряжению, приложенному к цепи ($U_R = U$), а падения напряжений на конденсаторе (U_C) и катушке индуктивности (U_L) одинаковы по амплитуде и противоположны по фазе. Это явление называется резонансом напряжений (последовательным резонансом), а частота (150.2) —резонансной частотой. Векторная диаграмма для резонанса напряжений приведена на рис. 220, а зависимость амплитуды силы тока от ω уже была дана на рис. 213.

В случае резонанса напряжений

$$(U_L)_{\text{ni pe3}} = (U_C)_{\text{in pe3}}.$$

Подставив в эту формулу значения резонансной частоты и амплитуды напряжений на катушке индуктивности и конденсаторе, получим

$$(U_L)_{\mathrm{m \; pcs}} = (U_C)_{\mathrm{m \; pcs}} = \sqrt{\frac{L}{C}} I_{\mathrm{m}} =$$

$$= \frac{1}{R} \sqrt{\frac{L}{C}} U_{\mathrm{m}} = Q U_{\mathrm{m}},$$

где Q—добротность контура, определяемая выражением (146.14).

Так как добротность обычных колебательных контуров больше единицы, то напряжение как на катушке индуктивности, так и на конденсаторе превышает напряжение, приложенное к цепи. Поэтому явление резонанса напряжений используется в технике для усиления колебания напряжения какой-либо определенной частоты. Например, в случае резонанса на конденсаторе можно получить напряжение с амплитудой $QU_{\rm m}$ (Q вданном случае — добротность контура, которая может быть значительно больше $U_{\rm m}$). Это усиление напряжения возможно только для узкого интервала частот вблизи резонансной частоты контура, что позволяет выделить из многих сигналов одно колебание определенной частоты, т.е. на радиоприемнике настроиться на нужную длину волны

Явление резонанса напряжений необходимо учитывать при расчете изоляции электрических линий, содержащих конденсаторы и катушки индуктивности, так как иначе может наблюдаться их пробой.

§151. Резонанстоков

Рассмотрим цепь переменного тока, содержащую параллельно включенные конденсатор емкостью Cи катушку индуктивностью L (рис. 221). Для простоты допустим, что активное сопротивление обеих ветвей настолько мало, что им можно пренебречь. Если приложенное напряжение изменяется по закону $U-U_{\rm m}\cos\omega t$ [см. (149.1)], то, согласно формуле (149.11), в ветви 1C2 течет ток

$$I_1 = I_{\rm max} \cos(\omega t - \varphi_1),$$

амплитуда которого определяется из выражения (149.10) при условии $\mathbf{R} = \mathbf{0}$ и $\mathbf{L} = \mathbf{0}$:

$$I_{\rm m_1} = \frac{U_{\rm m}}{1/(\omega C)}.$$

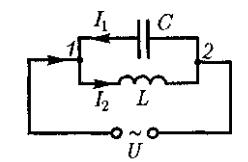
Начальная фаза ϕ_1 этого тока по формуле (149.9) определяется равенством

Аналогично, сила тока в ветви 1L2

$$I_2 = I_{\rm m_2} \cos(\omega t - \varphi_2),$$

амплитуда которого определяется из (149.10) при условии R=0 и $C=\infty$ (условие отсутствия емкости в цепи, см. § 149):

Рис.221



$$I_{m_2} = \frac{U_{\rm m}}{\omega L}.$$

Начальная фаза φ_2 этого тока [см. (149.9)]

$$\mathrm{tg}\,\varphi_2 = +\infty,$$
 (151.2) $\varphi_2 = \left(2n + \frac{1}{2}\right)\pi$, где $n = 1, 2, 3, \dots$

Из сравнения выражений (151.1) и (151.2) вытекает, что разность фаз токов в ветвях 1C2и 1L2равна $\varphi_1 - \varphi_2 = \pi$, т.е. токи в ветвях противоположны по фазе. Амплитуда силы тока во внешней (неразветвленной) цепи

$$I_{\mathrm{m}} = \left| I_{\mathrm{m}_{1}} - I_{\mathrm{m}_{2}} \right| = U_{\mathrm{m}} \left| \omega C - \frac{1}{\omega L} \right|.$$

Если
$$\omega = \omega_{pe3} = \frac{1}{\sqrt{LC}}$$
, то $I_{m_1} = I_{m_2}$ $I_{m} = 0$. Явление резкого уменьшения

и $I_{\rm m}=0$. Явление резкого уменьшения амплитуды силы тока во внешней цепи, питающей параллельно включенные конденсатор и катушку индуктивности, при приближении частоты ω приложенного напряжения к резонансной частоте $\omega_{\rm pes}$ называется резонансом токов (параллельным резонансом). В данном случае для резонансной частоты получили такое же значение, как и при резонансе напряжений (см. § 150).

Амплитуда силы тока $I_{\rm m}$ оказалась равна нулю потому, что активным сопротивлением контура пренебрегли. Если учесть сопротивление R, то разность фаз $\varphi_1 - \varphi_2$ не будет равна π , поэтому при резонансе токов амплитуда силы тока $I_{\rm m}$ будет отлична от нуля, но примет наименьшее возможное значение. Таким образом, при резонансе то-

ков во внешней цепи токи I_1 и I_2 компенсируются и сила тока / в подводящих проводах достигает минимального значения, обусловленного только током через резистор. При резонансе токов силы токов I_1 и I_2 могут значительно превышать силу тока I.

Рассмотренный контур оказывает большое сопротивление переменному току с частотой, близкой к резонансной. Поэтому это свойство резонанса токов используется в резонансных усилителях, позволяющих выделять одно определенное колебание из сигнала сложной формы.

Резонанс токов используется также в индукционных печах, где нагревание металлов производится вихревыми токами (см. § 125). В них емкость конденсатора, включенного параллельно нагревательной катушке, подбирается так, чтобы при частоте генератора получился резонанс токов, в результате чего сила тока через нагревательную катушку будет гораздо больше, чем сила тока в подводящих проводах.

§ 152. Мощность, выделяемая в цепи переменного тока

Мгновенное значение мощности переменного тока равно произведению мгновенных значений напряжения и силы тока:

$$P(t) = U(t)I(t),$$

где $U(t) = U_{\rm m}\cos\omega t I(t) = I_{\rm m}\cos(\omega t$ — ф) [см. выражения (149.1) и (149.11)]. Раскрыв $\cos(\omega t$ — ф), получим

$$\begin{split} P(t) &= I_{\rm m} U_{\rm m} \cos(\omega t - \varphi) \cos \omega t = \\ &= I_{\rm m} U_{\rm m} (\cos^2 \omega t \cos \varphi + \sin \omega t \cos \omega t \sin \varphi). \end{split}$$

Практический интерес представляет не мгновенное значение мощности,

а ее среднее значение за период колебания. Учитывая, что $\langle \cos^2 \omega t \rangle = \frac{1}{2}$, $\langle \sin \omega t \cos \omega t \rangle = 0$, получим

$$\langle P \rangle = \frac{1}{2} I_{\rm m} U_{\rm m} \cos \varphi.$$
 (152.1)

Из векторной диаграммы (см. рис. 218) следует, что $U_{\rm m} \cos \phi = R I_{\rm m}$. Поэтому

$$\langle P \rangle = \frac{1}{2} R I_{\rm m}^2.$$

Такую же мощность развивает постоянный ток / = - = .

Величины

$$I = \frac{I_{\text{m}}}{\sqrt{2}}, \quad U = \frac{U_{\text{m}}}{\sqrt{2}}$$

называются соответственно действующими (или эффективными) значениями тока и напряжения. Все амперметры и вольтметры градуируются по действующим значениям тока и напряжения.

Учитывая действующие значения тока и напряжения, выражение средней мощности (152.1) можно записать в виде

$$\langle P \rangle = IU \cos \varphi,$$
 (152.2)

где множитель $\cos \varphi$ называется коэффициентом мощности.

Формула (152.2) показывает, что мощность, выделяемая в цепи переменного тока, в общем случае зависит не только от силы тока и напряжения, но и от сдвига фаз между ними. Если в цепи реактивное сопротивление отсутствует, то $\cos \varphi = 1$ и P = UI. Если цепь содержит только реактивное сопротивление (R = 0), то $\cos \varphi - 0$ и средняя мощность равна нулю, какими бы большими ни были ток и напряжение. Если $\cos \varphi$ имеет значения, существенно мень-

ше единицы, то для передачи заданной мощности при данном напряжении генератора нужно увеличивать силу тока /, что приведет либо к выделению джоулевой теплоты, либо потребует увеличения сечения проводов, что повысит

стоимость линий электропередачи. Поэтому на практике всегда стремятся увеличить $\cos \varphi$, наименьшее допустимое значение которого для промышленных установок составляет примерно 0.85.

Контрольные вопросы

- Что такоеколебания? свободные колебания?гармонические колебания? периодические процессы?
- Почему возможен единый подход при изучении колебаний различной физической природы?
- Дайте определения амплитуды, фазы, периода, частоты, циклической частоты колебания.
- В чем заключается идея метода вращающегося вектора амплитуды?
- Выведите формулы для скорости и ускорения гармонически колеблющейся точки как функции времени.
- От чего зависят амплитуда и начальная фаза гармонических механических колебаний?
- Выведите и прокомментируйте формулы для кинетической, потенциальной и полной энергии при гармонических колебаниях.
- Чему равно отношение полной энергии гармонического колебания к максимальному значению возвращающей силы, вызывающей это колебание?
- Как можно сравнить между собой массы тела, измеряя частоты колебаний при подвешивании этих масс к пружине?
- Что называется гармоническим осциллятором? пружинным маятником? физическим? математическим?
- Выведите формулы для периодов колебаний пружинного, физического и математического маятников.
- Что такое приведенная длина физического маятника?
- Какие процессы происходят при свободных гармонических колебаниях в колебательном контуре? Чем определяется их период?
- Запишите и проанализируйте дифференциальное уравнение свободных гармонических колебаний в контуре.
- Какова траектория точки, участвующей одновременно в двух взаимно перпендикулярных гармонических колебаниях с одинаковыми периодами? Как получается окружность? прямая?
- Как по виду фигур Лиссажу можно определить отношение частот складываемых колебаний?
- Что такое биения? Чему равна частота биений? период?
- Запишите дифференциальное уравнение затухающих колебаний и его решение. Проанализируйте их для механических и электромагнитных колебаний.
- Как изменяется частота собственных колебаний с увеличением массы колеблющегося тела?
- По какому закону изменяется амплитуда затухающих колебаний? Являются ли затухающие колебания периодическими?
- Почему частота затухающих колебаний должна быть меньше частоты собственных колебаний системы?
- Что такое коэффициент затухания? декремент затухания? логарифмический декремент затухания? В чем заключается физический смысл этих величин?

- При каких условиях наблюдается апериодическое движение?
- Что такое автоколебания? В чем их отличие от свободных незатухающих и вынужденных незатухающих колебаний? Где они применяются?
- Что такое вынужденные колебания? Запишите дифференциальное уравнение вынужденных колебаний и решите его. Проведите их анализ для механических и электромагнитных колебаний.
- От чего зависит амплитуда вынужденных колебаний? Запишите выражение для амплитуды и фазы при резонансе.
- Нарисуйте и проанализируйте резонансные кривые для амплитуды смещения (заряда) и скорости (тока). В чем их отличие?
- Почему добротность является важнейшей характеристикой резонансных свойств системы?
- Чему равен сдвиг фаз между смещением и вынуждающей силой при резонансе?
- Что называется резонансом? Какова его роль?
- От чего зависит индуктивное сопротивление? емкостное сопротивление?
- Что называется реактивным сопротивлением?
- Как сдвинуты по фазе колебания переменного напряжения и переменного тока, текущего через конденсатор? катушку индуктивности? резистор? Ответ обосновать также с помощью векторных диаграмм.
- Нарисуйте и объясните векторную диаграмму для цепи переменного тока с последовательно включенными резистором, катушкой индуктивности и конденсатором.
- Назовите характерные признаки резонанса напряжений, резонанса токов. Приведите графики резонанса токов и напряжений.
- Как вычислить мощность, выделяемую в цепи переменного тока? Что называется коэффициентом мошности?

ЗАДАЧИ

- 18.1. Материальная точка, совершающая гармонические колебания с частотой v=2 Гц, в момент времени t=0 проходит положение, определяемое координатой $x_0=6$ см, со скоростью $v_0=14$ см/с. Определите амплитуду колебания. [6,1 см]
- 18.2. Полная энергия гармонически колеблющейся точки равна 30 мкДж, а максимальная сила, действующая на точку, равна 1,5 мН. Напишите уравнение движения этой точки, если период колебаний равен 2 с, а начальная фаза $\frac{\pi}{3}$. [$x=0.04\cos\left(\pi t+\frac{\pi}{3}\right)$, м]
- 18.3. При подвешивании грузов массами $m_1 = 500$ г и $m_2 = 400$ г к свободным пружинам последние удлинились одинаково (A/ = 15 см). Пренебрегая массой пружин, определите: 1) периоды колебаний грузов; 2) какой из грузов при одинаковых амплитудах обладает большей энергией и во сколько раз. [1) 0.78 c; 2) 1.25]
- 18.4. Физический маятник представляет собой тонкий однородный стержень длиной 25 см. Определите, на каком расстоянии от центра масс должна быть точка подвеса, чтобы частота колебаний была максимальной. [7,2 см]
- 18.5. Два математических маятника, длины которых отличаются па $\Delta l=16$ см, совершают за одно и то же время: один $n_1=10$ колебаний, другой $n_2=6$ колебаний. Определите длины маятников l_1 и l_2 . [l_1-9 см, l_2-25 см]
- 18.6. Колебательный контур содержит катушку с общим числом витков, равным 50, индуктивностью 5 мкГн и конденсатор емкостью 2 нФ. Максимальное напряжение па обкладках конденсатора составляет 150 В. Определите максимальный магнитный поток, пронизывающий катушку. [0,3 мкВб]
 - 18.7. Разность фаз двух одинаково направленных гармонических колебаний одинаково- π

го периода, равного 8 с, и одинаковой амплитуды 2 см составляет —. Напишите уравнение

движения, получающегося в результате сложения этих колебаний, если начальная фаза одного из них равна пулю. [$x=0.037\cos\left(\frac{\pi}{4}\,t+\frac{\pi}{8}\right)$, м]

- 18.8. Точка участвует одновременно в двух гармонических колебаниях, происходящих во взаимно перпендикулярных направлениях и описываемых уравнениями $x=\cos\pi t$ и $y=\cos\frac{\pi}{2}t$. Определите уравнение траектории точки и вычертите ее с нанесением масштаба. $[2y^2-x=1]$
- 18.9. За время, в течение которого система совершает 100 полных колебаний, амплитуда уменьшается в три раза. Определите добротность системы. [286]
- 18.10. Колебательный контур содержит катушку индуктивностью 25 мГи, конденсатор емкостью 10 мкФ и резистор сопротивлением 1 Ом. Амплитуда заряда па обкладках конденсатора $Q_{\rm m}-1$ мКл. Определите: 1) период колебаний контура; 2) логарифмический декремент затухания колебаний; 3) уравнение зависимости изменения напряжения на обкладках конденсатора от времени. [1) 3,14 мс; 2) 0,06; 3) $U=100\,\mathrm{e}^{-20t}\cos 636\pi t$, B]
- 18.11. Последовательно соединенные резистор с сопротивлением ПО Ом и конденсатор подключены к внешнему переменному напряжению с амплитудным значением 110 В. Оказалось, что амплитудное значение установившегося тока в цепи 0,5 А. Определите разность фаз между током и внешним напряжением. [60°]
- 18.12. В цепь переменного тока частотой 50 Гц включена катушка длиной 50 см и площадью поперечного сечения 10 см², содержащая 3000 витков. Определите активное сопротивление катушки, если сдвиг фаз между напряжением и током составляет 60°. [4,1 Ом]
- 18.13. Генератор, частота которого составляет $32 \ \kappa \Gamma$ ц и амплитудное значение напряжения равно $120 \ B$, включен в резонирующую цепь, емкость которой $1 \ h\Phi$. Определите амплитудное значение напряжения па конденсаторе, если активное сопротивление цепи $5 \ O$ м. $[119 \ \kappa \ B]$
- 18.14. Колебательный контур содержит катушку индуктивностью 5 мГн и конденсатор емкостью 2 мкФ. Для поддержания в колебательном контуре незатухающих гармонических колебаний с амплитудным значением напряжения па конденсаторе 1 В необходимо подводить среднюю мощность 0,1 мВт. Считая затухание колебаний в контуре достаточно малым, определите добротность данного контура. [100]

Глава 19 УПРУГИЕ ВОЛНЫ

§ 153. Волновые процессы. Продольные и поперечные волны

Колебания, возбужденные в какойлибо точке среды (твердой, жидкой или газообразной), распространяются в ней с конечной скоростью, зависящей от свойств среды, передаваясь от одной точки среды к другой. Чем дальше расположена частица среды от источника колебаний, тем позднее она начнет колебаться. Иначе говоря, фазы колебаний частиц среды и источника тем больше отличаются друг от друга, чем больше это расстояние. При изучении распространения колебаний не учитывается дискретное (молекулярное) строение среды и среда рассматривается как сплошная, т.е. непрерывно распределенная в пространстве и обладающая упругими свойствами.